



## بررسی کانی‌سازی، زمین‌شیمی و میانبارهای سیال ذخیره چندفلزی نوع رگه‌ای شلنگ، جنوب غربی کرمان

محمد صالحی تینونی<sup>۱</sup>، علی عابدینی<sup>۲\*</sup>، علی اصغر کلاگری<sup>۲</sup>

۱- گروه زمین‌شناسی، دانشکده علوم، دانشگاه ارومیه

۲- گروه علوم زمین، دانشکده علوم طبیعی، دانشگاه تبریز

(دریافت مقاله: ۹۷/۹/۲۴، نسخه نهایی: ۹۷/۱۲/۷)

چکیده: ذخیره چندفلزی نوع رگه‌ای شلنگ (جنوب غربی شهر کرمان) در بخش مرکزی کمربند فلزیابی دهچ- ساردوئیه قرار دارد. سنگ‌های درونگیر این ذخیره شامل واحدهای توف شیشه‌ای، توف بلوری، آندزیت و داسیت (به سن اؤسن) هستند. دگرسانی‌های وابسته به این ذخیره شامل پهنه‌های پروپلیتی، آرژیلی حد واسط، سیلیسی و کربناتی هستند. کانه‌زایی بیشتر به صورت رگه- رگچه ای در دو مرحله جداگانه درونزاد (کالکوپیریت، پیریت و مگنتیت) و برونزاد (بورنیت، کالکوسیت، مالاکیت، آزوریت و هماتیت) رخ داده است. کانی‌سازی درونزاد نیز در دو دوره مجزا رخ داده است، (۱) در زمان تشکیل رگه/ رگچه‌های کوارتز- سولفید و (۲) هنگام گسترش رگه/ رگچه‌های کربنات- سولفید. مقادیر متوسط مس، سرب، روی، طلا و نقره در رگه/ رگچه‌های کانه‌دار به ترتیب ۲/۵ درصد وزنی، ۰/۲۶ درصد وزنی، ۰/۱۶ درصد وزنی، ۱/۳ گرم در تن و ۲۸ گرم در تن هستند. بی‌هنجری‌های مثبت قوی Eu (۵/۰۳)، Ce (۱۰/۳۱) و Ce (۱۰/۶-۱۴/۸) به ترتیب نشان دهنده pH قلیایی محیط نهشت و ماهیت احیایی سیال‌های کانسنسگ هستند. بررسی‌های ریزدماسنجی میانبارهای سیال در بلورهای کوارتز همزاد با کانی‌های سولفیدی صورت گرفت. میانبارهای سیال مورد بررسی به طور عمده از نوع دو فازی غنی از مایع (L+V) هستند و همه آنها به فاز مایع همگن شده‌اند. دماهای همگن‌شدگی (Th) به دست آمده در میانبارهای سیال مورد بررسی در گستره ۲۲۶ تا ۳۱۳ درجه سانتی‌گراد تغییر می‌کنند. شوری‌های میانبارهای مورد بررسی نیز دارای گستره تغییراتی از ۳/۴ تا ۹/۶ درصد وزنی معادل نمک طعام هستند. بر اساس نتایج ریزدماسنجی میانبارهای سیال، جوشش همزمان با سرد شدن سازوکار اصلی در گسترش و تکامل این ذخیره محسوب می‌شود. حضور بافت‌های گل کلمی، شانه‌ای، قشرگون، دانه‌ای، پرمانند، برشی، تیغه‌ای و جانشینی در کانسنسگ‌ها، گسترش دگرسانی‌های آرژیلی حد واسط و کربناتی و شوری پایین میانبارهای سیال مورد بررسی، شواهد متقاعد کننده‌ای فراهم می‌نمایند مبنی بر اینکه ذخیره نوع رگه‌ای شلنگ بیشترین شباهت را به کانسارهای وراگرمایی (اپی‌ترمال) با سولفیدشدگی پایین دارد.

واژه‌های کلیدی: کانی‌سازی؛ دگرسانی؛ میانبارهای سیال؛ وراگرمایی (اپی‌ترمال) با سولفیدشدگی پایین؛ ذخیره شلنگ؛ دهچ- ساردوئیه.

### مقدمه

سرب و روی در این کمربند شناسایی و گزارش شده است [۱]. فعالیت ماقمایی در این کمربند فلزیابی بیشتر مربوط به دوران سنوزوئیک بوده که به ترتیب در اؤسن و الیکومیوسن اغلب به صورت فعالیت‌های آذرین درونی و بیرونی و در پلیوسن به طور محدود به صورت گسترش سنگ‌های آداسیتی عمل نموده است

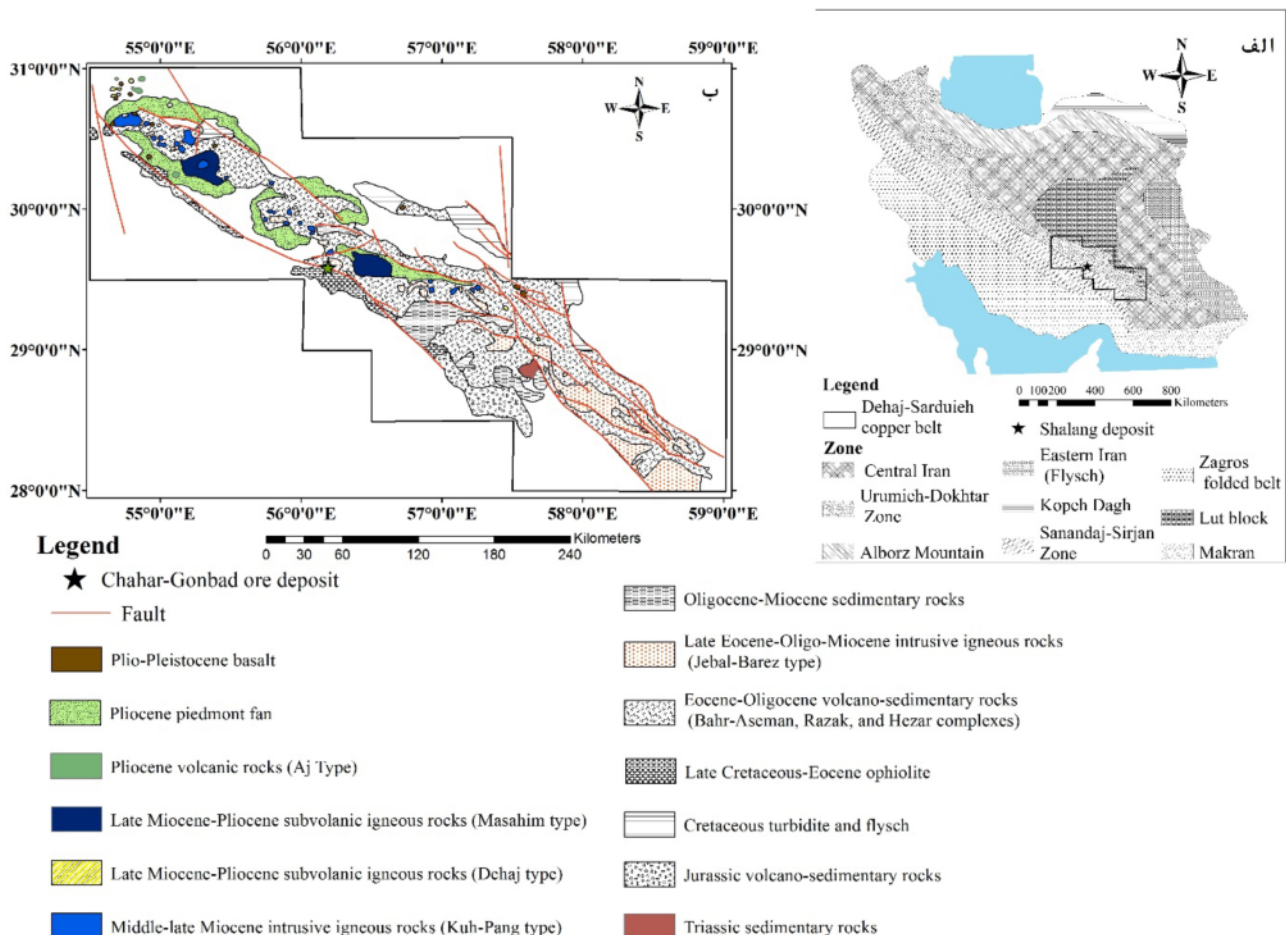
کمربند فلزیابی دهچ- ساردوئیه بخش قابل ملاحظه‌ای از فعالیت ماقمایی پهنه ارومیه- دختر را تشکیل می‌دهد (شکل ۱). تاکنون بیش از ۵۰ اثر کانی‌سازی مس به صورت انواع پورفیری و رگه‌ای همراه با عنصری چون مولیبدن، طلا، نقره،

\*نویسنده مسئول، تلفن: ۰۴۴۳۲۷۷۶۷۰۷، نامبر: ۰۴۴۲۹۷۲۱۳۴، پست الکترونیکی: a.abedini@urmia.ac.ir

سیرجان واقع است و در بخش مرکزی کمربند فلزایی دهچ-ساردوئیه قرار دارد (شکل ۱) [۵]. از نظر جایگاه زمین‌شناسی، این ذخیره در بخش جنوبی برگه ۱:۱۰۰۰۰۰ چهارگنبد واقع است. با وجود پژوهش‌های تا حدودی جامع پیرامون مسائل زمین‌شناسی، سنگ‌شناسی، سنگ‌زایی، و کانه‌زایی ناحیهمعدنی چهارگنبد [۹-۶]، تاکنون بررسی دقیق و جامعی بر ذخیره چند فلزی شلنگ در این ناحیه معدنی از نظر زمین‌شناسی اقتصادی انجام نشده است. در این پژوهش، براساس شواهد زمین‌شناسی، بررسی‌های کانی‌شناسی و کانه‌نگاری، زمین‌شیمیایی رگه‌های کانه‌دار و بررسی میانبارهای سیال در بلورهای کوارتز همزمان تشکیل شده با کانه‌های سولفیدی اطلاعات جامعی از روند کانی‌سازی، سازوکار تشکیل و نوع ذخیره شلنگ ارائه می‌شود.

[۲]. سریسیتی‌شدن، رسی‌شدن و اپیدوتی‌شدن از دگرسانی‌های رایج گسترش یافته در سنگ‌های آتش‌فشانی ائوسن در این کمربند محسوب می‌شوند [۳]. افزون بر این، گسترش دگرسانی‌های پتاسیک، سریسیتی و پروپلیتی اغلب در ارتباط با سنگ‌های آذرین درونی الیگو-میوسن است. حضور گوسان‌های هماتیتی، گوتیتی و جاروسیتی از ویژگی‌های بی‌مانند این کمربند فلزایی به شمار می‌آید [۱]. کانسار مس پورفیری سرچشم‌هه رفسنجان و کانسار رگه‌ای (مس- طلا- نقره- بیسموت) چهارگنبد شاخص‌ترین ذخایر شناخته شده در این کمربند هستند [۴].

ذخیره شلنگ یکی از ذخایر چند فلزی نوع رگه‌ای در ناحیه معدنی چهارگنبد است. این ذخیره در فاصله ۱۱۰ کیلومتری جنوب غربی شهر کرمان و در ۷۰ کیلومتری شمال شرقی شهر



شکل ۱ الف: نقشه پهنه‌های ساختاری ایران و جایگاه کمربند دهچ- ساردوئیه بر کمان آتش‌فشانی- نفوذی ارومیه- دختر همراه با سنگ‌شناسی ساده شده کمربند دهچ- ساردوئیه (بر گرفته از مرجع [۵] با اندکی تغییرات) و جایگاه ذخیره شلنگ بر آن.

گستره ذخیره شلنگ شامل واحدهای کرتاسه (واحدهای فرابازی سرپانتینی شده و چرت‌های رادیولاریتی)، واحدهای ائوسن ( توف شیشه‌ای، توف بلوری و جریان‌های گدازه‌ای با ترکیب آندزیتی- داسیتی) و واحدهای الیگومن- میوسن ( واحد سنگی آندزیت پورفیری نیمه آتش‌شناختی) هستند (شکل ۲). رگه- رگچه‌های کانه‌دار به طور عمده در واحدهای ائوسن گسترش یافته‌اند.

#### روش بررسی

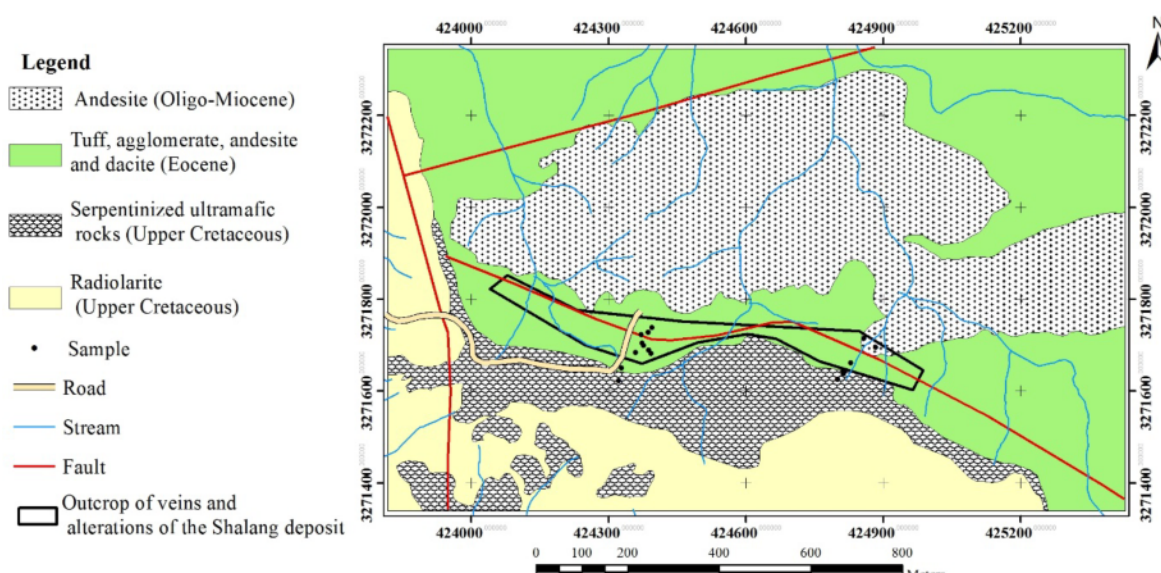
این پژوهش در دو بخش صحرایی و آزمایشگاهی صورت گرفته است. در بخش صحرایی، پیمایش برای نمونه‌گیری از سنگ- های آذرین میزبان کانه‌زایی، رگه‌های کوارتزی- سولفیدی، و پهنه‌های مختلف دگرسانی انجام شد. در بخش آزمایشگاهی، نخست از بین ۶۰ نمونه برداشت شده تعداد ۳۵ نمونه مناسب انتخاب و سپس با تهیه ۲۰ مقطع نازک و ۱۵ مقطع صیقلی، ویژگی‌های میکروسکوپی آنها توسط میکروسکوپ نوری زایس مدل Axioplan2 در سازمان زمین‌شناسی و اکتشافات معدنی (DOR: 20.1001.1.17263689.1398.27.4.3.2) [Downloaded from ijcm.ir on 2025-07-02] ]

سیار این پژوهش جهت تعیین نوع ذخیره شلنگ، تعداد ۸ نمونه کانسنگی از رگه‌های معدنی به روش طیف‌سنجی حرمو پلاسمای جفت شده القایی (ICP-MS) برای تعیین مقادیر عناصر به ویژه عنصر کانساری مهم از جمله مس، سرب، روی و Au در آزمایشگاه زرآزما (زنجان) تجزیه گردیدند. مقادیر در نمونه‌های یاد شده نیز به روش عیار سنگی گرمایی تجزیه شدند.

#### جايگاه زمین‌شناسی

فعالیت‌های آذرین و پدیده‌های وابسته به آن در کمریند ده- ساردوئیه کرمان در سه مرحله رخ داده است [۱۰، ۹]. مرحله نخست شامل فعالیت‌های آتش‌شناختی- نفوذی به سن ائوسن- الیگومیوسن بوده که در آن نخستین مرحله کانی‌زایی پورفیری و رگه‌ای رخ داده است. نفوذ سنگ‌های آذرین گرانودیوریتی، گرانیتی، کوارتز- مونزونیتی و مونزونیتی الیگومیوسن به درون تشکیلات سنگی قدیمی تر با کانی‌سازی نوع پورفیری، رگه‌ای و اسکارنی همراه شده است [۹]. در منطقه معدنی چهارگنبد، با نفوذ باتولیت تخت (گرانیت- گرانودیوریت) به سن الیگومیوسن به درون واحدهای آتش‌شناختی، کانی‌سازی‌های فلزی و دگرسانی‌های متعددی رخ داده است [۷]. مرحله دوم شامل بر فعالیت‌های آتش‌شناختی- نفوذی به سن میوسن- پلیوسن است که دومین مرحله کانی‌سازی پورفیری- رگه‌ای (میوسن میانی تا پایانی) در آن رخ داده است. سنگ‌های آندزیتی، داسیتی، ریوداسیتی، مواد آذرآواری و توفهای ایگنمبریتی توسط توده- های جوان دیوریتی قطع شده‌اند. سرشت نفوذی‌های مربوط به این مرحله از نوع آداسیتی به سن میوسن میانی- پسین است. سرانجام مرحله سوم دایک‌های لامپروفیری و بازالت‌های قلیایی پلیوسن- پلیسیتوسن شکل گرفته‌اند.

رخداد و گسترش ذخیره شلنگ در ارتباط با مرحله نخست فعالیت‌های ماقمایی در کمریند ده- ساردوئیه است. این ذخیره که به صورت رگه- رگچه‌ای در منطقه گسترش یافته است، از نظر جایگاه زمین‌ساختی بر قوس آتش‌شناختی- آذرین نفوذی ارومیه- دختر قرار دارد (شکل ۱). واحدهای سنگی



شکل ۲ نقشه زمین‌شناسی گستره ذخیره معدنی شلنگ (برگرفته از مرجع [۶] با اندکی تغییرات).

ای در برگرفته است. پهنه‌بندی‌های دگرسانی در اطراف رگه‌های کانی‌سازی شده از مرکز به سمت لبه‌ها شامل دگرسانی‌های سیلیسی، آژیلی حدواسط و پروپلیتی هستند. دگرسانی کربناتی بعدی که در اطراف رگه‌های کربنات کربنات- سولفید دیده می‌شود، با توجه به حضور آن در اطراف رگه‌های کربناتی دارای سولفید آشکارا از دگرسانی پروپلیتی متمایز است. پهنه دگرسانی سیلیسی از کوارتزهای ریزدانه بیشتر بی‌شکل به همراه مقادیر ناچیزی کانی‌های رسی (ایلیت و کائولینیت) و سولفیدی با بافت انتشاری تشکیل شده است. دگرسانی آژیلی حدواسط به دلیل جانشینی ایلیت، اسکمکیت، کلسیت و کوارتز به جای فلدرسپار و گاهی کلریت به جای هورنبلندهای گردیده است (شکل ۴ الف). دگرسانی پروپلیتی با حضور کانی‌های کلریت، اپیدوت، کلسیت، و مقادیر اندکی سریسیت قابل شناسایی است (شکل ۴ ب). در منطقه مورد بررسی، گسترش پهنه دگرسانی پروپلیتی در سنگ‌های آذرین حدواسط (جریان‌های گدازه‌ای آندزیتی) نسبت به سنگ‌های آذرین اسیدی (جریان‌های گدازه‌ای داسیتی) از شدت بیشتری برخوردار است. کربناتی شدن که در آخرین مرحله کانی‌سازی رخ داده و اغلب با رگه‌های کربناتی مرحله آخر تزریق سیال‌های گرمابی در ارتباط است، به واسطه حضور کلسیت و در مقادیر کمتر دولومیت قابل تشخیص است. حضور دگرسانی آژیلی حدواسط و کربناتی شدن نشان دهنده اثر سیال‌های گرمابی با خاستگاه اغلب جوی، pH اسیدی ضعیف تا قلیایی و Eh احیایی می‌باشد که از ویژگی‌های ذخایر رگه‌ای اپیترمال سولفیداسیون پائین محسوب می‌شوند [۱۱-۱۳].



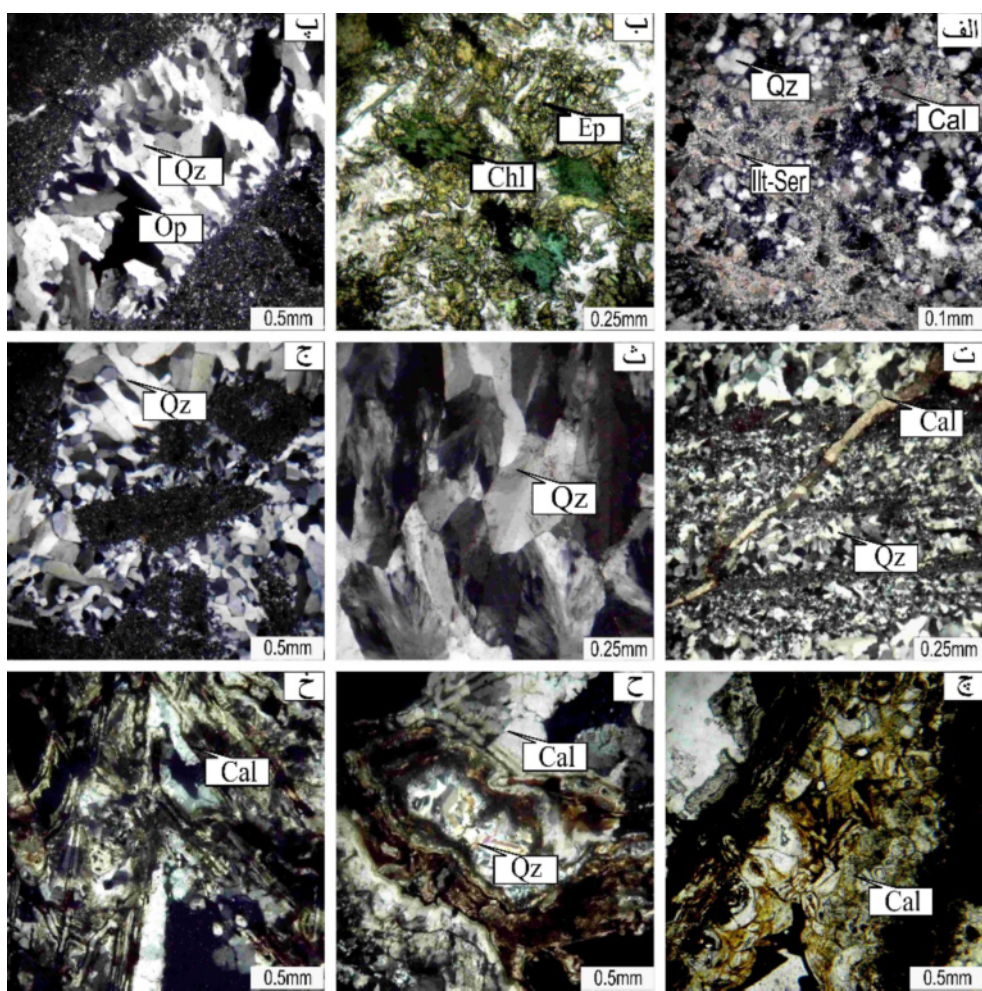
شکل ۳ ستبرای پهنه‌های دگرسانی با سنگ میزان توف آندزیتی- داسیتی در ذخیره شلنگ، الف: ضخامت در حد چند سانتی‌متر و ب) ضخامت در حد چند متر.

میانبارهای سیال رگه‌های کوارتزی- سولفیدی شامل کالکوپیریت و پیریت با تهیه ۹ نمونه دوبرصیقل با میکروسکوپ نوری بررسی شدند. پس از بررسی‌های نوری، به منظور ریزدماسنجی و اندازه‌گیری پارامترهای دمایی میانبارهای سیال Linkam مدل THMS600 و میکروسکوپ نوری زایس در آزمایشگاه کانی‌شناسی مرکز تحقیقات فرآوری مواد معدنی ایران بررسی گردیدند. واسنجی دستگاه طی عمل گرمایش برابر با  $\pm 0.6$  تا  $\pm 1.4$  درجه سانتی‌گراد با ماده استاندارد نتیرات سزیم، و برای سرمایش برابر با  $\pm 0.2$  تا  $\pm 0.3$  درجه سانتی‌گراد با مایع استاندارد ان-هگزان انجام شد.

## نتایج و بحث

### دگرسانی‌های گرمابی

دگرسانی‌های متفاوتی در اثر سیال‌های گرمابی در سنگ‌های درونگیر ذخیره شلنگ رخ داده است. بر اساس روابط بین رگه‌رگچه‌های کانه‌زایی شده، دگرسانی‌های گسترش یافته نتیجه دو مرحله تزریق سیال‌های گرمابی هستند. گسترش دگرسانی‌های سیلیسی، آژیلی حدواسط و پروپلیتی ناشی از سیال‌های گرمابی مرحله نخست هستند. دگرسانی کربناتی پیامد تزریق سیال‌های گرمابی مرحله دوم است که اغلب در اطراف رگه‌های کربناتی شامل سولفید دیده می‌شود. پهنه‌ای هاله‌های سیلیسی و آژیلی حدواسط در اطراف رگه- رگچه‌های کوارتزی- سولفیدی از چند سانتی‌متر تا چندین متر متغیر است (شکل- های ۳ الف، ب). دگرسانی پروپلیتی به عنوان فرآگیرترین نوع دگرسانی در منطقه، سایر پهنه‌های دگرسانی را به صورت هاله-



شکل ۴ (الف) رخداد دگرسانی آرژیلیک حدواتسط با توجه به حضور کانی‌های کلسیت (Cal)، ایلیت-سریسیت (Ilt-Ser) و کوارتز (Qz). (نور xpl)، ب: دگرسانی پروپیلیتی با حضور اپیدوت (Ep) و کلریت (Chl). (نور ppl)، پ: رگه کوارتزی-سولفیدی با بافت شانه‌ای. (نور xpl)، ت: رگه کربناتی دربردارنده کوارتز با بافت قشرگون. (نور xpl) ث: بافت پرمانند (باطله کوارتز). (نور xpl) ج: بافت برشی (قطعاتی از سنگ میزان در یک زمینه سیلیسی). (نور xpl) چ: بافت گل کلمی به همراه رگه‌های کربناتی. (نور ppl) ح: بافت شانه‌ای و جانشینی کلسیت به جای کوارتز. (نور xpl) و خ: بافت تیغه‌ای به همراه رگه‌های کربناتی. (نور xpl).

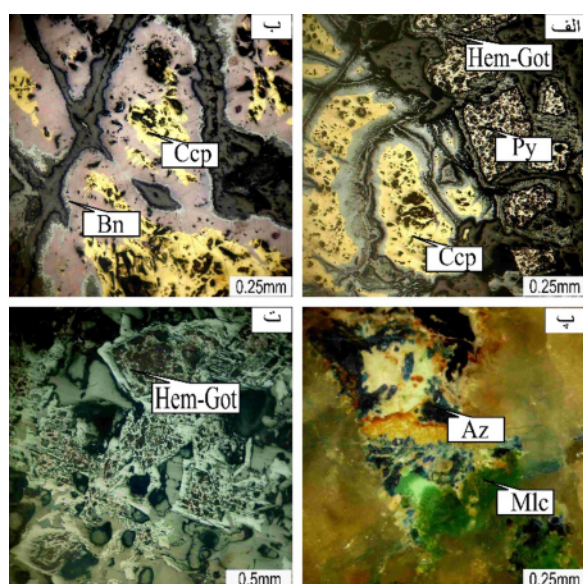
طلاء، نقره، سرب و روی هستند. بافت‌های شانه‌ای، قشرگون، دانه‌ای، پرمانند، و برشی (شکل‌های ۴ پ تا ج) از جمله بافت‌های گسترش یافته در ذخیره شلنگ و همراه رگه‌های کوارتزی هستند و از ویژگی‌های ذخایر اپیترمال با سولفیدشدنگی پائین به شمار می‌روند [۱۴]. کانی‌های فلزی برآمده از مرحله اول کانی‌سازی درونزاد شامل کالکوپیریت، پیریت، و در مقادیر اندک مگنتیت هستند (شکل ۵ الف). بر اساس شواهد میکروسکوبی، پیریت همزمان و کمی پیش از کالکوپیریت تشکیل شده است. همرشدی پیریت، کالکوپیریت و کوارتز نشانگر تنهنشست همزمان از یک سیال است. دگرسانی‌های سیلیسی، آرژیلی حدواتسط-سریسیتی، و پروپیلیتی در ارتباط با

### کانه‌زایی و کانی‌شناسی

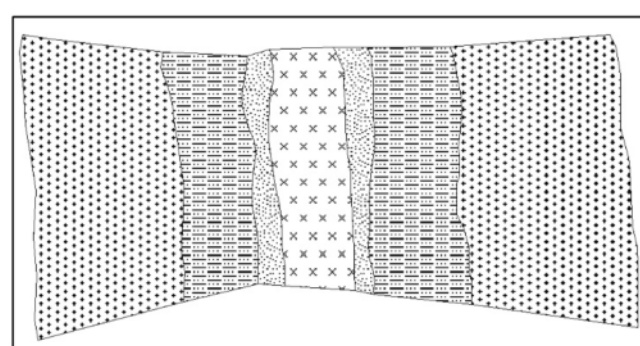
کانی‌سازی در گستره ذخیره شلنگ به دو صورت درونزاد و برونزاد رخ داده است. کانی‌سازی درونزاد را می‌توان با حضور رگه-رگچه‌های کوارتزی-سولفیدی و کربناتی دارای سولفید شناسایی کرد. رگه-رگچه‌های کانی‌سازی شده خواه کوارتز-سولفید یا کربناتی دارای ضخامتی متغیر از ۱ میلی‌متر (أغلب رگچه‌های کربناتی) تا بیش از ۱ متر (عموماً رگه‌های کوارتزی-سولفیدی) هستند. بر اساس روابط بین رگه-رگچه‌ها، کانی-سازی درونزاد نتیجه تزریق سیال‌های گرمایی کانی‌ساز در دو مرحله است. مرحله اول تشکیل رگه-رگچه‌های کوارتز-سولفید (شکل ۴ پ) است که در واقع میزان کانی‌سازی مس،

ذخایر اپیترمال با سولفیدشدگی پائین محسوب می‌شود [۱۵-۱۷]. در این ذخیره آشکارا قابل تشخیص است. بافت‌های گل کلمی، شانه‌ای، تیغه‌ای (شکل‌های ۴ ج، خ) و جانشینی (شکل ۴ ح) به همراه رگه-رگچه‌های کربناتی ذخیره شلنگ دیده می‌شوند. کالکوپیریت‌های همراه رگه‌های کربناتی ممکن است در نتیجه خرد شدن کالکوپیریت همراه رگه-رگچه‌های کوارتزی-سولفیدی و تزریق بعدی رگه‌های کربناتی در فضاهای ایجاد شده گسترش یافته باشند.

رگه-رگچه‌های کوارتزی-سولفیدی دیده می‌شوند. در شکل ۶ طرحواره‌ای از چگونگی قرارگیری دگرسانی‌های یاد شده نسبت به رگه-رگچه‌های کوارتزی-سولفیدی نشان داده شده است. رگه-رگچه‌های کربناتی دارای سولفید مرحله دوم، کانی‌سازی ضعیفی از مس را نشان می‌دهند. رگه-رگچه‌های کربناتی در بخش‌هایی آشکارا رگه-رگچه‌های کوارتز-سولفیدی را قطع نموده‌اند (شکل ۴ ت)، به طوری که گاهی جانشینی به جای کوارتز و حتی رگه‌های کوارتزی نیز رخ داده است. بافت جانشینی کلسیت به جای کوارتز که از جمله بافت‌های همراه



شکل ۵ کانی‌های فلزی درونزاد و برونزاد ذخیره شلنگ: (الف) حضور کالکوپیریت (Ccp) و پیریت (Py) در کانسنگ (کانی‌سازی درونزاد) که در آن هماتیت (Hem) و گوتیت (Got) در حال جانشینی به جای سولفیدهای اولیه هستند (کانی‌سازی برونزاد)، (ب) حضور بورنیت (Bn) و کالکوپیریت در نمونه‌های کانسنگی مورد بررسی، (پ) کانی‌سازی مالاکیت (Mcl) و آزوریت (Az) در کانسنگ‌های مورد بررسی (کانی‌سازی برونزاد) و (ت) حضور هماتیت و گوتیت با بافت شاخص جعبه‌ای (شاخص پنهان اکسیدی برونزاد) در ذخیره شلنگ. همه تصاویر در نور بازتابی تهییه شده‌اند.



شکل ۶ طرحواره از انواع دگرسانی‌های همراه با رگه‌های کوارتزی کانی‌سازی شده ذخیره شلنگ و چگونگی قرارگیری آنها نسبت به رگه‌ها.

شده است. بر اساس این نتایج، مقدار مس و آهن در نمونه‌های کانسنگی به ترتیب در گستره ۸۵۲۸ تا ۴۴۰۴ و ۲۰۹۶۲ تا ۸۸۸۰۸ گرم در تن (ppm) متغیر است. این در حالی است که مقادیر متوسط عناصر As, Ag, S, Pb, Mo, Bi, Sn, Sb و Zn در نمونه‌های مورد بررسی به ترتیب ۳۰۱، ۲۸، ۲، ۰، ۸، ۲۶۴۲، ۷۴۶۱، ۰، ۸، ۶ و ۱۶۲۰ گرم در تن (ppm) هستند. بر اساس نتایج بدست آمده، مقدار طلا در کانسنگ‌ها به طور متوسط حدود ۱/۲ گرم در تن است (جدول ۱).

ضرایب همبستگی پیرسون بین عناصر (جدول ۲) نشان می‌دهند که همبستگی مثبت قوی بین K و Al ( $r = 0.98$ ) (جدول ۲) در رگه‌های کانه‌زایی شده وجود دارد. این همبستگی بیانگر حضور این دو عنصر در ساختار کانی‌های آلومینو-سیلیکاتی پتاسیم‌دار چون ایلیت و سریسیت است. وجود همبستگی‌های منفی متوسط بین عناصر فلزی با عناصر اصلی (جزء Sb و Cd با Ca) دلیلی بر تفکیک رگه‌هایمعدنی کانی‌زا از پهنه‌های دگرسانی اصلی از جمله دگرسانی‌های آرژیلی حدواسط و کربناتی است. بر اساس ضرایب همبستگی محاسبه شده (جدول ۲)، عناصر کانساری را می‌توان به دو دسته مجزاء تفکیک نمود.

مشاهدات میکروسکوپی نشان می‌دهند که کالکوپیریت و پیریت در شرایط بروزنزد توسط کانی‌های ثانویه‌ای چون بورنیت، کالکوسیت، مالاکیت، آزوریت، گوتیت و هماتیت جایگزین شده‌اند (شکل ۵ ب). بورنیت با بافت جانشینی لبه‌ای و رگه‌ای، جانشین کالکوپیریت شده و خود گاهی از لبه توسط کالکوسیت جایگزین شده است. مالاکیت و آزوریت به طور پراکنده در متن سنگ و شکستگی‌های سنگ میزبان قابل مشاهده هستند (شکل ۵ پ). آزوریت اغلب پس از مالاکیت و در سیستم‌هایی که دستخوش آب‌زدایی شده‌اند، شکل گرفته است. با ادامه شرایط بروزنزد، کانی‌های سولفیدی اولیه و ثانویه دارای آهن توسط گوتیت و هماتیت با بافت شاخص جعبه‌ای جانشین شده‌اند (شکل ۵ ت). شکل ۷ توالی همبری کانی‌ای ذخیره شلنگ را با توجه به بررسی‌های صحرابی و میکروسکوپی و بر پایه روابط میان کانی‌های فلزی و غیر فلزی نشان می‌دهد.

**بررسی‌های زمین‌شیمیایی**  
نتایج تجزیه‌های شیمیایی عناصر جزئی (به ویژه عناصر فلزی) هشت نمونه از کانسنگ‌های ذخیره شلنگ در جدول ۱ ارائه

کانی	سنگ میزبان	کانی‌سازی درونزد		کانی‌سازی برونزد
		مرحله اول	مرحله دوم	
پلاژیوکلاز				
هورنبلند				
کوارتز				
ایپیدوت				
کلریت				
سریسیت				
ایلیت				
کلسیت				
دولومیت				
پیریت				
کالکوپیریت				
مگنتیت				
بورنیت				
کالکوسیت				
مالاکیت				
آزوریت				
هماتیت				
گوتیت				

شکل ۷ توالی همبری کانی‌ای (کانسنگ و باطله) برای ذخیره نوع رگه‌ای شلنگ.

**جدول ۱** نتایج تجزیه شیمیابی برای برخی از عناصر انتخابی (مقدار طلا بر حسب ppb و مقدار سایر عناصر بر حسب ppm) به همراه حد آشکارسازی عناصر در کانسنگ‌های مورد بررسی ذخیره شلنگ.

	حد آشکارسازی	R-1	R-2	R-3	R-4	R-5	R-6	R-7	R-8	متوسط
Ag	۰.۱	۳.۹	۳.۷	۳.۸	۴.۹	۶۱.۵	۵۳	۵۷.۸	۲۶۷	۲۸.۱
Au	۵	۹.۷	۲۲۴	۳۱	۲۱۰.۱	۱۶۰.۳	۲۲۴۲	۲۲۴۸	۱۵۷۴	۱۲۹۲.۶
As	۰.۱	۵۱.۸	۳۸۳.۸	۲۹۷.۷	۵۷۹	۳۴۸.۲	۱۹۹.۴	۲۶۲.۴	۲۸۹.۴	۳۰۱.۴
Bi	۰.۱	۲.۴	۱.۹	۱.۶	۱.۱	۲.۵	۲.۷	۲.۶	۱.۳	۲.۰
Cu	۱	۱۱۵۸۹	۷۵۰.۳	۸۵۲۸	۱۱۶۸۶	۳۹۳۷۷	۴۰.۵۶	۴۴۷.۰۴	۳۷۸۳۲	۲۵۲۸۴
Fe	۱۰۰	۲۴۸۰.۱	۲۰۹۶۲	۲۳۷۱۲	۱۵۶۰.۷	۸۸۸.۸	۵۹۳۱۷	۶۴۴۰.۸	۵۵۴۲۱	۴۴۱۲۹
Mo	۰.۱	۱.۶	۱	۱.۳	۱.۶	۱۱	۲۳.۱	۱۵۴	۱۰	۸
Pb	۱	۳۵	۱۶۸	۱۹۳	۷۸	۱۶۰.۹۴	۱۴۶	۲۱۱۰	۲۳۱۹	۲۶۴۳
S	۵۰	۲۲۸۳	۱۲۳۹	۱۷۰.۵	۲۴۴۶	۳۰۰۰	۸.۰۹۱	۸.۰۶	۴۷۷۷	۷۴۶۱
Sb	۰.۵	۷.۲	۹.۵	۷.۹	۵.۲	۷	۴.۳	۶.۳	۴.۶	۶.۵
Sn	۰.۱	۰.۷	۰.۷	۰.۷	۰.۷	۱	۰.۹	۰.۸	۱	۰.۸۱
Zn	۱	۱۱۹۳	۱۰۴۴	۱۳۱۵	۲۸۷	۳۴۸۹	۵۹۹	۱۹۶۴	۳۰۶۸	۱۶۲۰
Ba	۱	۸۳	۸۴	۱۰۲	۶۷	۲۹	۶۸	۵۳	۴۵	۶۶
Te	۰.۱	۰.۱	۰.۱۶	۰.۱	۰.۱۳	۰.۴	۱۲۵	۰.۵۴	۰.۵۹	۰.۴۰
Cd	۰.۱	۶	۷.۱	۷.۳	۲.۲	۵.۲	۲.۳	۴.۴	۶.۱	۵.۰۷
Al	۱۰۰	۳۲۴۹۷	۳۶۴۹۶	۳۳۴۵۶	۱۶۵۲۸	۱۱۴۳۳	۳۴۹۴۴	۲۷۱۲۶	۱۸۹۶۴	۲۶۴۰.۵
Ca	۱۰۰	۲۷۹۵	۲۵۸۱۲	۲۲۹۷	۱.۸۷	۸۳۵	۱۷۶۹	۹۹۷	۱۵۱۳	۱۷۳۴
K	۱۰۰	۱۲۳۸۲	۱۳۲۹۹	۱۱۸۱۸	۶۳۱۹	۴۳۶۸	۱۴۳۳۰	۱۱۱۱۴	۷۷۶۶	۱۰۱۷۴
Na	۱۰۰	۱۰۰۳	۱۱۰۴	۹۰۱	۴۷۹	۳۹۸	۵۸۳	۵۱۱	۳۸۳	۶۷۰

**جدول ۲** ضریب همبستگی پیرسون میان برخی از عناصر در گههای کوارتزی کانی‌سازی شده ذخیره شلنگ.

	Al	Fe	Ca	K	Na	S	Cu	Au	Ag	Te	Pb	Zn	Sb	Cd	Bi	Mo	As
Al	۱.۰۰																
Fe	-۰.۴۶	۱.۰۰															
Ca	۰.۷۹	-۰.۶۴	۱.۰۰														
K	۰.۹۸	-۰.۳۶	۰.۷۲	۱.۰۰													
Na	۰.۷۹	-۰.۶۷	۰.۹۲	۰.۶۸	۱.۰۰												
S	-۰.۶۴	۰.۸۳	-۰.۶۲	-۰.۶۱	-۰.۵۴	۱.۰۰											
Cu	-۰.۳۵	۰.۹۰	-۰.۶۷	-۰.۲۱	-۰.۷۵	۰.۷۷	۱.۰۰										
Au	-۰.۴۶	۰.۵۵	-۰.۸۳	-۰.۲۲	-۰.۸۴	۰.۳۵	۰.۷۶	۱.۰۰									
Ag	-۰.۳۷	۰.۶۶	-۰.۶۹	-۰.۲۴	-۰.۷۱	۰.۷۱	۰.۹۷	۰.۷۲	۱.۰۰								
Te	-۰.۲۳	۰.۷۴	-۰.۵۸	-۰.۰۸	-۰.۶۷	۰.۴۱	۰.۸۸	۰.۸۰	۰.۸۵	۱.۰۰							
Pb	-۰.۶۸	۰.۷۶	-۰.۵۶	-۰.۶۹	-۰.۴۷	۰.۹۷	۰.۴۵	۰.۱۹	۰.۵۹	۰.۲۷	۱.۰۰						
Zn	-۰.۵۸	۰.۷۴	-۰.۴۲	-۰.۵۷	-۰.۴۷	۰.۶۶	۰.۵۵	۰.۰۸	۰.۵۷	۰.۳۲	۰.۷۶	۱.۰۰					
Sb	۰.۳۷	-۰.۳۳	۰.۶۳	۰.۲۳	۰.۷۷	-۰.۰۸	-۰.۶۰	-۰.۷۷	-۰.۴۶	-۰.۶۰	۰.۰۵	-۰.۰۲	۱.۰۰				
Cd	۰.۲۷	-۰.۱۸	۰.۶۶	۰.۱۵	۰.۵۷	-۰.۱۵	-۰.۳۸	-۰.۸۳	-۰.۲۶	-۰.۴۹	۰.۰۴	۰.۳۷	۰.۷۳	۱.۰۰			
Bi	۰.۲۸	۰.۵۶	۰.۰۰	۰.۳۶	۰.۰۶	۰.۴۴	۰.۴۹	۰.۱۶	۰.۵۹	۰.۳۵	۰.۳۰	۰.۱۲	۰.۰۶	-۰.۱۳	۱.۰۰		
Mo	-۰.۱۳	۰.۷۵	-۰.۴۷	۰.۱۲	-۰.۵۶	۰.۳۹	۰.۸۹	-۰.۷۴	۰.۸۷	۰.۹۰	۰.۲۰	۰.۱۹	-۰.۸۲	-۰.۵۳	۰.۸۰	۱.۰۰	
As	-۰.۵۹	-۰.۰۳	-۰.۶۹	-۰.۶۱	-۰.۰۱	۰.۱۳	۰.۰۰	۰.۴۸	۰.۰۳	۰.۱۰	۰.۱۴	-۰.۰۴	-۰.۱۸	-۰.۴۰	-۰.۵۳	-۰.۱۱	۱.۰۰

پیریت نسبت به حضور الکتروم، پتزیت، موتابانیت و سیلوانیت محتمل‌تر است. همبستگی‌های مثبت قوی بین Au و Te با Cu ( $r = 0.88-0.97$ ) دلیلی بر همزمانی رخداد کانی‌زایی این عناصر در رگه‌های معدنی است. عدم همبستگی‌های معنیدار و یا منفی بین As با سایر عناصر کانساری گروه نخست و مقادیر نه چندان بالای این عنصر در نمونه‌های مورد بررسی می‌تواند دلیلی بر نبود سولفوسالتها، اورپیمان و رآلگار در کانسنگ‌های ذخیره شلنگ باشد. عناصر کانساری دسته دوم در رگه‌های ذخیره شلنگ شامل Cd و Sb هستند. همبستگی‌های مثبت متوسط Ca-Cd ( $r = 0.63$ ) با Sb با Ca ( $r = 0.66$ ) نشانگر رخداد کانی‌زایی عناصر این گروه همراه با کربنات‌ها

عناصر دسته نخست شامل Bi, Se, Te, Ag, Au, Fe, Cu, Zn, Pb, Mo و S هستند. در این گروه، همبستگی‌های مثبت قوی بین Fe و S ( $r = 0.77-0.90$ ) با حضور کانی‌های سولفیدی آهن‌دار و آهن-مس دار چون پیریت و کالکوپیریت در رگه‌های معدنی ذخیره شلنگ قابل توجیه است. افزون بر این، همبستگی مثبت قوی بین Au و Te ( $r = 0.72$ ) بیانگر حضور احتمالی کانی‌هایی چون الکتروم، پتزیت، موتابانیت و سیلوانیت در رگه‌های معدنی کوارتزی-سولفیدی مورد بررسی است. با این حال، با توجه به مقادیر پایین این عناصر در رگه‌های مورد بررسی، حضور این عناصر در ساختار کانی‌های سولفیدی چون کالکوپیریت و

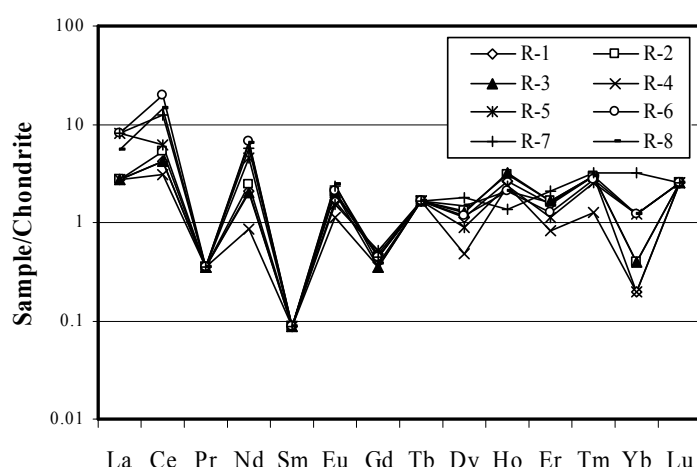
سبک (LREE) نسبت به عناصر خاکی نادر سنگین (HREE) در کانسنگ‌ها است. این جدایش و غنی‌شدگی به نسبت ضعیف با رخداد بی‌هنجری‌های مثبت قوی Ce و Eu در کانسنگ‌ها همراه است (شکل ۸). محاسبه مقادیر کمی مقادیر بی‌هنجری- $\text{Eu}/\text{Eu}^*$  = 2Eu<sub>N</sub>/(Sm<sub>N</sub> + Eu) و Ce<sub>N</sub>/(La<sub>N</sub>+Pr<sub>N</sub>) Ce/Ce\* = 2Ce<sub>N</sub>/(La<sub>N</sub>+Pr<sub>N</sub>) ب亨جار شدن عناصر به کندritیت را نشان می‌دهد) آشکار می‌کند که گستره تغییرات برای این دو بی‌هنجری به ترتیب ۵/۰۳ تا ۱۰/۳۱ و ۱/۴۸ تا ۵/۰۶ است (جدول ۳).

(شکل‌گیری رگه‌های کربناتی سولفیدار و دگرسانی کربناتی همراه) است.

تجزیه‌های شیمیایی نشان می‌دهند که مقادیر عناصر خاکی نادر (REE) در کانسنگ‌ها در گستره ۱/۶۲ تا ۲۵/۷۴ گرم در تن (ppm) متغیر است (جدول ۳). نسبت‌هایی چون (La/Yb)<sub>N</sub> و (LREE/HREE)<sub>N</sub> در کانسنگ‌ها تغییراتی به ترتیب گستره ۲/۵۳ تا ۲۳/۷۸ و ۸/۰۹ تا ۱۲/۷ را به نمایش می‌گذارند. الگوی توزیع REE ب亨جار شده به کندritی [۱۸] نشانگر جدایش و غنی‌شدگی نسبتاً ضعیف عناصر خاکی نادر

جدول ۳ نتایج تجزیه شیمیایی عناصر خاکی نادر (بر حسب گرم در تن) به همراه حد آشکارسازی آنها در کانسنگ‌های انتخابی از ذخیره شلنگ.

	حد آشکارسازی	R-1	R-2	R-3	R-4	R-5	R-6	R-7	R-8
La	۱	۱	۱	۱	۱	۳	۳	۳	۲
Ce	۰/۵	۴	۵	۴	۳	۶	۱۹	۱۲	۱۴
Pr	۰/۰۵	۰/۰۵	۰/۰۵	۰/۰۵	۰/۰۵	۰/۰۵	۰/۰۵	۰/۰۵	۰/۰۵
Nd	۰/۵	۱/۵	۱/۷	۱/۴	۰/۶	۲/۲	۴/۸	۴	۴/۶
Sm	۰/۰۲	۰/۰۲	۰/۰۲	۰/۰۲	۰/۰۲	۰/۰۲	۰/۰۲	۰/۰۲	۰/۰۲
Eu	۰/۰۵	۰/۱۵	۰/۱۸	۰/۱۸	۰/۱۰	۰/۱۴	۰/۱۹	۰/۲۱	۰/۲۲
Gd	۰/۰۵	۰/۱۵	۰/۱۴	۰/۱۱	۰/۱۱	۰/۱۶	۰/۱۴	۰/۱۴	۰/۱۲
Tb	۰/۱	۰/۱	۰/۱	۰/۱	۰/۱	۰/۱	۰/۱	۰/۱	۰/۱
Dy	۰/۰۲	۰/۴۲	۰/۴۹	۰/۴۸	۰/۱۸	۰/۳۴	۰/۴۴	۰/۶۹	۰/۵۵
Ho	۰/۰۳	۰/۲۱	۰/۲۵	۰/۲۶	۰/۱۹	۰/۱۹	۰/۱۷	۰/۱۱	۰/۱۷
Er	۰/۰۵	۰/۳۹	۰/۴۲	۰/۴۲	۰/۲۱	۰/۲۸	۰/۳۲	۰/۵۳	۰/۴
Tm	۰/۱	۰/۱۲	۰/۱۲	۰/۱۲	۰/۰۵	۰/۱۰	۰/۱۱	۰/۱۳	۰/۱۲
Yb	۰/۰۵	۰/۰۲	۰/۱۰	۰/۱۰	۰/۰۲	۰/۳۰	۰/۳۰	۰/۸۰	۰/۳۰
Lu	۰/۱	۰/۱	۰/۱	۰/۱	۰/۱	۰/۱	۰/۱	۰/۱	۰/۱
LREE	-	۱/۱۲	۵/۷۲	۸/۹۵	۵/۶۵	۳/۷۷	۹/۴۱	۲۴/۰۶	۱۶/۲۸
HREE	-	۰/۵	۱/۵۴	۱/۷۲	۱/۶۹	۰/۹۹	۱/۵۷	۱/۶۸	۲/۶۰
REE	-	۱/۶۲	۷/۲۶	۸/۶۷	۷/۳۴	۴/۷۶	۱۰/۹۸	۲۵/۷۴	۱۸/۸۸
Ce/Ce*	-	۲/۷۲	۳/۴۰	۲/۷۲	۲/۰۴	۱/۴۸	۴/۶۸	۲/۹۵	۵/۰۶
Eu/Eu*	-	۵/۸۴	۷/۴۳	۹/۰۵	۵/۰۳	۵/۱۶	۷/۸۴	۸/۶۶	۱۰/۳۱
(La/Yb) <sub>N</sub>	-	۲۳/۷۸	۶/۷۶	۶/۷۶	۲۷/۰۳	۶/۷۶	۶/۷۶	۲/۵۳	۴/۵۰
(LREE/HREE) <sub>N</sub>	-	۱/۲۷	۲/۱۰	۲/۲۸	۱/۸۹	۲/۱۵	۲/۲۹	۸/۰۹	۳/۵۴



شکل ۸ الگوی توزیع REE ب亨جار شده به کندritی [۱۸] در نمونه‌های مربوط به رگه‌های کوارتزی کانی‌سازی شده شلنگ.

می‌شود (شکل ۹ پ). بر اساس بررسی‌های سنگنگاری، این میانبارهای سیال از نوع اولیه و از نظر محتوای فازی بیشتر از نوع دوفازی مایع-گاز (L+V) هستند (شکل ۹ ب) و درجه پرشدگی [۲۱] آنها اغلب در گستره ۶۰٪-۷۰٪ تغییر می‌کند و به ندرت به ۸۰٪ نیز می‌رسد. با این حال، تعداد کمی میانبار سیال دوفازی گاز-مایع (V+L) و تکفاز گازی نیز دیده شدند، اما به دلیل کوچک بودن اندازه از آنها ریزدماسنجی شدند.

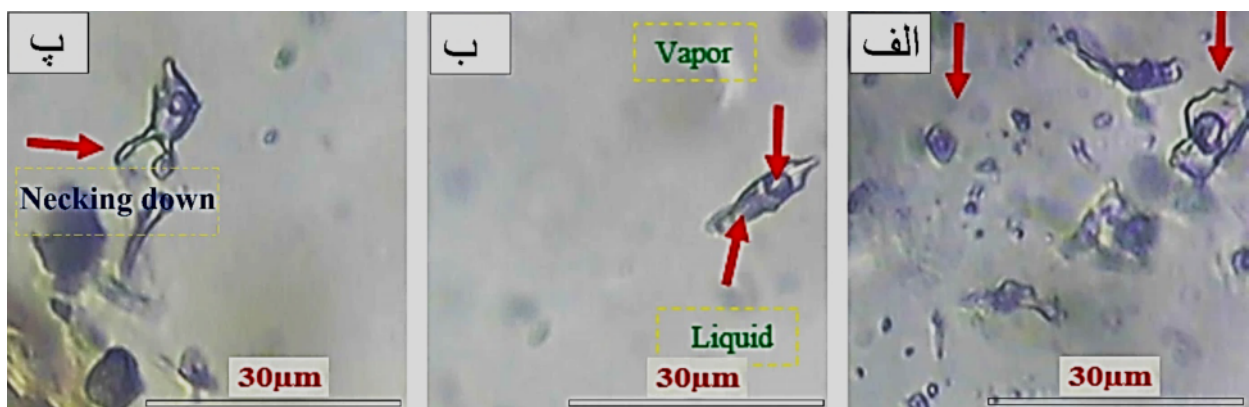
**بررسی‌های ریزدماسنجی:** یافته‌های ریزدماسنجی میانبارهای سیال در بلورهای کوارتز موجود در رگه-رگچه‌های کوارتزی-سولفیدی در دو مرحله سرمایش و گرمایش بدست آمده‌اند که نتایج به دست آمده در جدول ۴ ارائه شده‌اند. نقطه همگذاری (Te) (نخستین نقطه ذوب) بدست آمده اغلب در گستره حدود  $30^{\circ}\text{C}$ - $38^{\circ}\text{C}$  هستند که نشان می‌دهد که سیالات گرمابی افزون بر نمک طعام شامل مقادیری از نمک‌های محلول دیگر مثل  $\text{MgCl}_2$  و  $\text{FeCl}_2$  نیز بوده‌اند [۲۱]. بر اساس نتایج بدست آمده، دمای آخرین نقطه ذوب یخ ( $T_{\text{m}_{\text{ice}}}$ ) در گستره  $-2^{\circ}\text{C}$ - $-37^{\circ}\text{C}$  درجه سانتی‌گراد در سیستم  $\text{H}_2\text{O}-\text{NaCl}$  متغیر است که با مقادیری از شوری در گستره  $3/39$  تا  $9/86$  (میانگین  $6/24$ ) درصد وزنی معادل نمک طعام متناظر هستند [۲۲] (شکل ۱۰). طی مرحله گرمایش، همه میانبارهای سیال مورد بررسی به فاز مایع همگن شده‌اند. دماهای همگن‌شدنگی این میانبارها در گستره  $226$  تا  $313$  (میانگین  $271/19$ ) درجه سانتی‌گراد متغیر بوده‌اند (شکل ۱۰).

رخداد بی‌هنجری‌های مثبت قوی Eu در کانسنگ‌ها می-تواند نشانگر شرایط محیط نهشت کانسنگ باشد. از اینرو، به نظر می‌رسد که رخداد بی‌هنجری مثبت Eu در کانسنگ‌های شلنگ با ماهیت احیایی سیال‌های کانسنگ‌ساز و رخداد بی‌هنجری مثبت Ce با pH قلیایی محیط نهشت و یا پائین بودن گریزندگی اکسیژن در سیستم گرمابی در ارتباط باشد [۱۹، ۲۰]. این ویژگی‌ها از مشخصات بارز کانسارهای اپی‌ترمال با سولفیدشده‌گی پایین به شمار می‌روند.

#### بررسی میانبارهای سیال

از بررسی رگه‌های کانه‌دار و مقاطع نازک و صیقلی مشخص شد که بلورهای کوارتز حاضر در رگه-رگچه‌های کوارتزی-سولفیدی به دلیل همزاد بودن با کانه‌های سولفیدی برای مطالعه میانبارهای سیال مناسب هستند. بر اساس نتایج سنگ-نگاری، دو نمونه با کیفیت مناسب برای ریزدماسنجی انتخاب و از آنها تعداد  $26$  میانبار سیال بررسی شدند. این بررسی‌ها به ترتیب شامل سنگنگاری، تعیین انواع میانبارها (اولیه و ثانویه)، رده‌بندی زایشی، تهیه عکس‌های مناسب و آزمایش‌های سرمایش و گرمایش بودند.

**سنگنگاری میانبارهای سیال:** بررسی‌های میکروسکوپی نشانگر حضور میانبارهای سیال اولیه به صورت نامنظم با اندازه‌های متوسط (شکل‌های ۹ الف و ب)، شکل‌های چندضلعی نامنظم و کشیده و تعدادی سیال‌های ثانویه در راستا شکستگی‌های درون بلورهای کوارتز هستند. پدیده باریک-شدنگی (Necking-down) در برخی از میانبارهای سیال دیده شد.

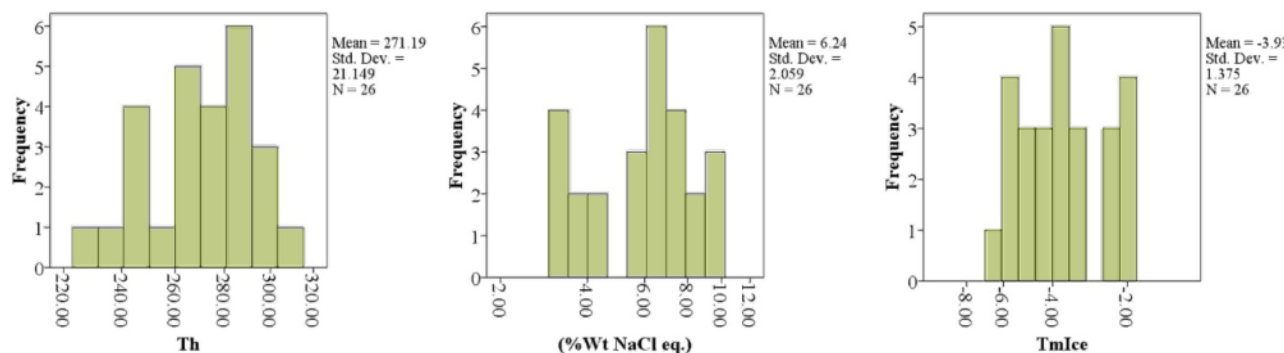


شکل ۹ الف و ب) میانبارهای سیال دوفازی (L+V) و پ) رخداد پدیده باریک‌شدنگی در برخی از میانبارهای سیال مورد بررسی رگه‌های کوارتزی-ذخیره شلنگ.

جدول ۴ نتایج ریزدماسنجی سیال‌های درگیر در بلورهای کوارتز که بصورت همزاد با کانه‌های سولفیدی در رگه-رگچه‌های ذخیره شلنگ تشکیل شده‌اند. همه میانبارهای سیال مورد بررسی از نوع دوفازی غنی از مایع ( $L+V$ ) و از نظر همیزبادی از نوع اولیه بوده‌اند. ( $T_e$  = دمای نخستین ذوب یخ ( نقطه همگذاری)،  $T_{m_{ice}}$  = دمای ذوب آخرین تکه یخ و  $Th_{(L-V)}$  = دمای همگن شدنگ).

نمونه	n	( $\mu\text{m}$ )	اندازه	$T_e(^{\circ}\text{C})$	$T_{m_{ice}}(^{\circ}\text{C})$	$\text{NaCl}(\text{wt}\%)$	$Th_{(L-V)}, ^{\circ}\text{C}$
R-3	۱	۶		-۴	۶,۴۵	۲۸۲	
	۲	۱۰		-۴,۲	۶,۷۴	۲۹۶	
	۳	۱۰		-۳,۶	۵,۵۶	۲۸۶	
	۴	۵		-۳,۴	۵,۵۶	۳۰۳	
	۵	۷		-۳,۵	۵,۷۱	۲۸۲	
	۶	۶		-۲,۲	۳,۷۱	۲۷۵	
	۷	۹		-۲	۳,۳۹	۲۵۰	
	۸	۱۲		-۲,۳	۳,۸۷	۲۷۷	
	۹	۱۸		-۴	۶,۴۵	۳۱۳	
	۱۰	۱۰		-۲,۵	۴,۱۸	۲۹۷	
	۱۱	۹		-۲	۳,۳۹	۲۸۳	
	۱۲	۲۰		-۴,۲	۶,۷۴	۲۷۳	
R-7	۱	۱۰		-۴	۶,۴۵	۲۶۶	
	۲	۱۰		-۶	۹,۲۱	۲۸۴	
	۳	۵		-۵,۵	۸,۵۵	۲۷۵	
	۴	۷		-۵	۷,۸۶	۲۵۰	
	۵	۱۸		-۲	۳,۳۹	۲۵۲	
	۶	۸		-۶,۵	۹,۸۶	۲۴۲	
	۷	۹		-۶	۹,۲۱	۲۴۸	
	۸	۵		-۲	۳,۳۹	۲۲۶	
	۹	۲۰		-۵	۷,۸۶	۲۳۵	
	۱۰	۱۲		-۲,۵	۴,۱۸	۲۶۹	
	۱۱	۱۰		-۴	۶,۴۵	۲۸۵	
	۱۲	۱۷		-۵,۵	۸,۵۵	۲۷۰	
	۱۳	۲۰		-۵	۷,۸۶	۲۶۲	
	۱۴	۱۸		-۴,۵	۷,۱۷	۲۷۰	

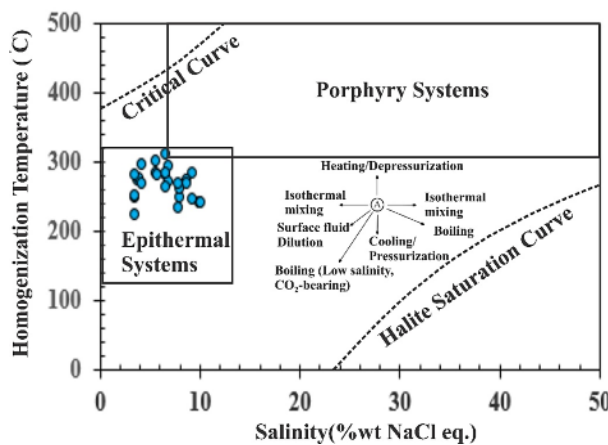
-۳۸ تا -۳۰



شکل ۱۰ توزیع فراوانی دمای آخرین ذوب یخ، شوری، و دمای همگن شدنگ سیال‌های درگیر در میانبارهای سیال مورد بررسی در رگه‌های کوارتزی کانی‌سازی شده شلنگ.

ریزدماسنجی در نمودار شوری نسبت به دمای همگن شدنگی یک روند خطی نشان می‌دهد (شکل ۱۱) که از نظر تکاملی می‌تواند مربوط به رویداد جوشش (هر چند خفیف و کوتاه مدت) باشد. بطور کلی، حضور رگه-رگچه‌های متقاطع، کلسیت‌های تیغه‌ای، میانبارهای سیال دوفازی غنی از گاز و تک فاز گازی و روند تکاملی یافته‌های ریزدماسنجی می‌توانند نشانه‌هایی از جوشش سیال‌های کانه‌ساز باشند [۲۴، ۲۳].

نمودارهای ستونی مربوط به توزیع فراوانی دمای آخرین نقطه ذوب یخ، شوری و دمای همگنی در میانبارهای سیال مورد بررسی دو جمعیت تقریباً مجزا را به نمایش می‌گذارند. از آنجا که همه میانبارهای سیال مورد بررسی اولیه بوده و مربوط به رگه-رگچه‌های کوارتزی-سولفیدی هستند، لذا قرارگیری آنها در دو جمعیت متفاوت ممکن است ناشی از جوشش سیال‌های کانه ساز در زمان کانی‌سازی باشد. نقاط مربوط به یافته‌های

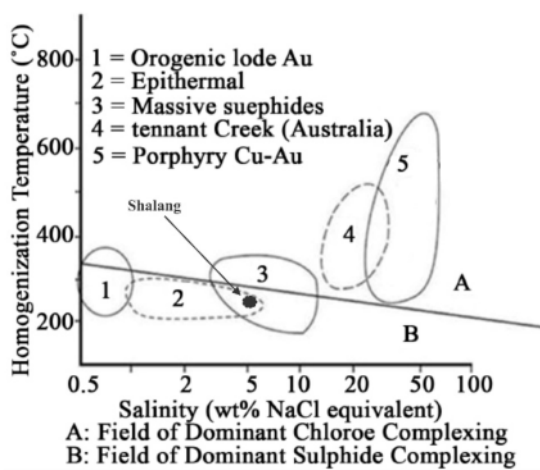


شکل ۱۱ الگوی تغییرات میانبارهای سیال مورد بررسی در نمودار دومتغیره دمای همگن‌شدگی نسبت به شوری [۲۶] همراه با مسیرهای نظری تغییرات شوری و دمای همگنی برای تعیین سازوکار تشکیل ذخایر مختلف فلزی [۲۶]، جایگاه میانبارهای سیال مورد بررسی ذخیره شلنگ بر آن [۲۶].

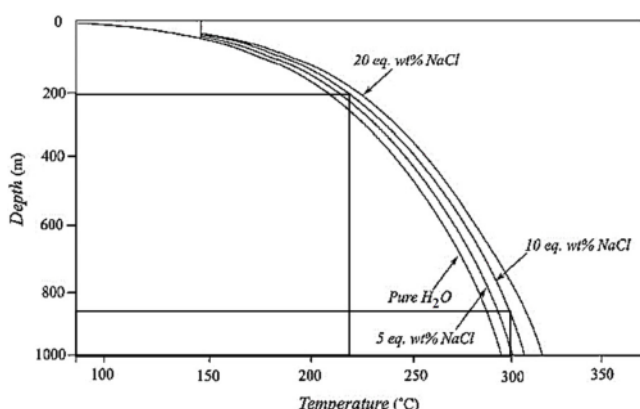
میانبارهای سیال را بدست آورد. با توجه به مقادیر شوری (کمتر از ۱۰٪) و دماهای همگنی که در گستره ۳۱۳-۲۲۶ (میانگین ۲۶۷) درجه سانتی‌گراد متغیر هستند، فشارهای هیدرواستاتیک مربوط به کانه‌زایی در ذخیره شلنگ در گستره ۳۰ تا ۸۲ (میانگین ۶۰) بار برآورده شد که متناظر با اعمق ۳۰۰ تا ۸۲۰ (میانگین ۶۰) متر از سطح استabilی سفره آب‌های زیرزمینی و مشابه اعمق تشکیل اغلب ذخایر اپی‌ترمال است [۲۸]. با توجه به شکل ۱۴، چگالی‌های برآورده شده برای سیال‌های عامل کانی‌سازی در ذخیره شلنگ در گستره ۰/۹ تا ۰/۹ گرم بر سانتی‌متر مکعب هستند که از این نظر نیز مشابه ذخایر اپی‌ترمال بوده و بیانگر شوری به نسبت کم سیال‌های کانی‌ساز هستند.

نمودارهای دومتغیره دمای همگنی نسبت به شوری (شکل ۱۲) [۲۵، ۲۳] نیز بیانگر نوع اپی‌ترمال بودن ذخیره شلنگ و نقش مؤثر کمپلکس‌های بی‌سولفیدی در انتقال فلزات طی تشکیل و گسترش آن هستند. شوری پایین سیال‌های کانسنج‌ساز یکی از ویژگی‌های بارز ذخایر اپی‌ترمال با سولفیدشدنی پائین محاسبه شود [۱۲، ۲۳، ۲۱].

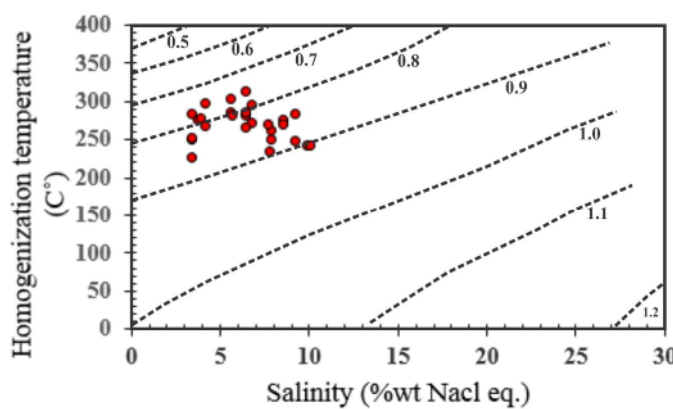
برآورده عمق، فشار و چگالی میانبارهای سیال: در یک سیال گرمابی کانه‌ساز، در صورتی که فرایند جوشش به عنوان عامل مؤثر در ته نشست فلزات عمل نماید، دیگر نیازی به تصحیح فشار نبوده و دمای همگنی معادل دمای به دام افتادن است [۲۶، ۲۱]. در این صورت می‌توان با استفاده از نمودار عمق نسبت به دمای همگنی [۲۷] (شکل ۱۳)، عمق به دام افتادن



شکل ۱۲ جایگاه برخی از ذخایر گرمابی معمولی دنیا از جمله ذخایر مس- طلای پورفیری و اپی‌ترمال در نمودار دومتغیره دمای همگنی نسبت به شوری که بر آن نوع کمپلکس‌های حمل کننده فلزات نشان داده است [۲۵، ۲۳] که بر اساس این نمودار نوع کمپلکس‌های حامل فلزات در منطقه شلنگ بی‌سولفیدی است.



شکل ۱۳ نمودار دومتغیره عمق نسبت به دمای همگن شدگی [۲۸] به همراه همگن شدگی میانبارهای سیال مورد بررسی در ذخیره شلنگ.



شکل ۱۴ توزیع فراوانی داده‌های میانبارهای سیال مورد بررسی در نمودار دومتغیره دمای همگن شدگی نسبت به شوری [۲۶].

کربناتی، مقادیر بی‌هنجاری‌های Eu و Ce و شوری پایین میانبارهای سیال می‌توان ذخیره نوع رگه‌ای شلنگ را در زمرة کانسارهای اپی‌ترمال با سولفیدشدن پایین قرار داد.

۵- بررسی میانبارهای سیال نشان می‌دهد که جوشش همزمان با سرد شدن سازوکار مهم و موثر طی گسترش رگه‌های کانی سازی شده شلنگ است و کمپلکس‌های بی‌سولفیدی نقش مهمی در انتقال فلزات طی تشکیل و گسترش این ذخیره ایفا نموده‌اند.

#### قدرتانی

نگارندگان این مقاله از حمایت‌های معاونت پژوهشی دانشگاه ارومیه برخودار بوده‌اند، که بدین وسیله نهایت سپاس خود را از مسؤولین مربوطه اعلام می‌دارند. نگارندگان همچنین از نظرات و پیشنهادات سازنده داوران محترم مجله سپاسگزاری می‌نمایند.

#### مراجع

- [1] Aftabi A., Atapour H., "Regional aspects of shoshonitic volcanism in Iran", Episodes 23 (2000) 119-125.
- [2] Ghorbani M., "The economic Geology in Iran: Mineral Deposits and Natural Resources",

برداشت مهمترین نتایج به دست آمده از بررسی‌های کانی‌شناسی، زمین‌شیمیایی و بررسی‌های میانبارهای سیال ذخیره نوع رگه‌ای شلنگ عبارتند از:

۱- کانه‌زایی درونزد (کالکوپیریت، پیریت و مگنتیت) و برونزاد (بورنیت، کالکوسیت، مالاکیت، آزوریت و هماتیت) در ذخیره نوع رگه‌ای شلنگ (جنوب غربی شهر کرمان) در واحدهای توف شیشه‌ای، توف بلوری، آندزیت و داسیت به سن ائوسن رخ داده است.

۲- رخداد بی‌هنجاری مثبت Eu در کانسنگ‌ها آشکارا ماهیت احیایی سیال‌های کانسنگ‌ساز را طی رگه‌های کانه‌دار منطقه شلنگ نشان می‌دهد.

۳- رخداد بی‌هنجاری مثبت Ce در نمونه‌های مربوط به رگه‌های کانه‌زا نشانگر شرایط pH قلیایی محیط نهشت و یا کاهش گریزندگی اکسیژن در سیستم گرمابی طی تشکیل این ذخیره است.

۴- براساس شواهدی چون گسترش بافت‌های شانه‌ای، قشرگون، دانه‌ای، پرمانند، برشی، تیغه‌ای و جانشینی کلسیت به جای کوارتز، حضور پهنه‌های دگرسانی آرژیلی حد واسط و

- International conference on mineral exploration, (1997) 209-220.
- [16] Sillitoe S. H. and Hedenquist J. W., "Linkages between volcano-tectonic setting, Ore fluid composition and precious metal deposits", Economic Geology 10 (2003) 315-343.
- [17] Robert F., Brommecker R., Bourne B. T., Dobak P. J., McEwan C. J., Rowe R. R., Zhou X., "Models and exploration methods for major gold deposit types", Proceedings of Exploration 07: Fifth Decennial International Conference on Mineral Exploration" edited by B. Milkereit (2007) 691-711.
- [18] Taylor Y., McLennan S. M., "The continental crust: Its composition and evolution", 1st ed. Oxford, UK: Blackwell.
- [19] Sverjensky D. M., "Europium redox equilibrium in aqueous solutions", Earth and Planetary Science Letters 67 (1984) 70-78.
- [20] Bau M., "Rare earth element mobility during hydrothermal and metamorphic fluid-rock interaction and the significance of the oxidation state of europium", Chemical Geology 93 (1991) 219-230.
- [21] Shaperd T. J., Rankin A. H., Alderton D. H. M., "A practical guide to fluid inclusion studies", Blackie, Glasgow, (1985) 1-239.
- [22] Bodnar, R. J., "Revised equation and table for determining the freezing point depression of  $H_2O-NaCl$  soulations", Geochimica et Cosmochimica Acta 57 (1993) 683-684.
- [23] Corbett G., "Epithermal gold for explorationists: AIG", Journal of Applied Geoscientific practice and research in Australian Paper 1 (2002) 1-29.
- [24] Wilkinson J. J., "Fluid inclusion in hydrothermal ore deposits", Lithos 55 (2001) 229-272.
- [25] Large R. R., Bull S. W., Cooke D. R., Mc Goldrick P. J., "A Genetic model for the HYC deposit, Australia, based on regional sedimentology, geochemistry and sulfide-sediment relationship", Economic Geology 93 (1998) 1345-1368.
- [26] Roedder E., Bodnar R. J., "Geologic pressure determinations from fluid inclusions studies", Earth and Planetary Sciences 8 (1980) 263-301.
- [27] Haas J. L., "The effect of salinity on the maximum thermal gradient of a hydrothermal system at hydrostatic pressure", Economic Geology 66 (1971) 940-946.
- [28] Bodnar R. J., Lecumberri Sanchez P., Moncada D., Steele-MacInnis M., "Fluid inclusion in hydrothermal ore deposits", Treatise on Geochemistry, Second Edition 13 (2014) 119-142 .
- Springer Science Business Media, Dordrecht (2013) 1-581.
- [3] Salehi M., "Investigation of lithogeochemical haloes in the Chahar-Ghonbad Cu-Au ore deposit, Sirjan", Ms.C. Thesis, University of Shahid Bahonar, Kerman, Iran (2012) 216p (in Persian).
- [4] Sjerp N., Issakhanian V., Brants A., "The geological environment of the Chahar Gonbad copper mine: A study In Tertiary copper mineralization", Geological survey of Iran, Report 16 (1969) 1-64.
- [5] Alimohammadi M., Alirezaei S., Ghaderi, M., Kotak, D. J., "Shahabpour J., "The geology, petrogenesis and geological setting of the volcanic and plutonic rocks from Daraloo and Sarmoshk porphyry copper deposits, south Kerman copper belt, Iran", Geosciences 25 (2016) 159-170 (in persian).
- [6] Khan-Nazer N. H., "Geological map of the Chahar-Ghonbad (1:100000 scale)", Geological Survey of Iran (1994).
- [7] Fazlnia A., "Petrography and petrology of the Chahar-Ghonbad intrusive masses", Ms.C. Thesis, University of Shahid Bahonar, Kerman, Iran (2000) 180p (in Persian).
- [8] Atapour H., "Geochemical evolution and metallogeny of potassium rich igneous rocks in the Dehaj-Sardueh volcano-plutonic belt, Kerman province, with emphasize to special elements", Ph.D. Thesis, University of Shahid Bahonar, Kerman, Iran (2007) 401p (in Persian).
- [9] Dimitrijevic M. D., "1:100000 geological map of Chahar Gonbad", Geological Survey of Iran (1973).
- [10] Atapour H., Aftabi A., "Geochemistry and metallogeny of calcalkaline, shoshonitic and adakitic igneous rocks associated with porphyry Cu-Mo and vein type deposits of Dehaj-Sardueh volcano-plutonic belt, Kerman", Geosciences 18 (2009) 161-172 (in persian).
- [11] White N. C., Hedenquist J. W., "Epithermal gold deposit styles, characteristics and expoloration", Published in SEG Newsletter 23 (1995) 9-13.
- [12] Robb L., "Intruduction to ore forming processes", Blackwell publishing (2005) 1-373.
- [13] Pirajno F., "Hydrothermal processes and mineral systems", Springer (2009) 1-1243.
- [14] Dong G., Morrison G., Jaireth S., "Quartz textures in epithermal veins, Queensland-Classification, origin, and implication", Economic Geology 90 (1995) 1841-1856.
- [15] Robert F., Poulen K. H., Dube B., "Gold deposits and their geological classification", Proceeding of exploration 97: Fourth decennial